

正誤情報

このたびは森北出版株式会社発行の書籍をお買い求めいただき、誠にありがとうございました。下記の書籍につきまして誤りのある箇所がございましたので、お詫びし訂正させていただきます。

2019年11月25日 森北出版株式会社 生産マネジメント部

タイトル

入門 インバータ工学

正誤対象

お手持ちの書籍の刷数をお調べのうえ、下の表をご覧ください。正誤表内の一番左に「対応刷数」という列がございます。該当する刷数の訂正情報をご参照下さい。

なお、刷数につきましては下記「刷数の調べ方」をご参照ください。

お持ちの本の刷数	
2 刷	対応刷数 2 をご参照ください
それ以降	3刷以降用の正誤表もご参照ください。

刷数の調べ方

本の一番後ろのページ(広告等除く)に下図のようなページがございます。ご参照いただき、お持ちの本の刷数をお調べください。

著者略歴
○○ ○○ (●●●●・●●●●)
1980年 ××大学大学院修士課程修了
1980年 ××大学助手
1990年 ××大学助教授
2000年 ××大学教授

編集担当 ■■■■■ (森北出版)
編集責任 ◆◆◆◆ (森北出版)
紙 版 ○○○○
印 刷 ▲▲印刷
製 本 ▼▼製本

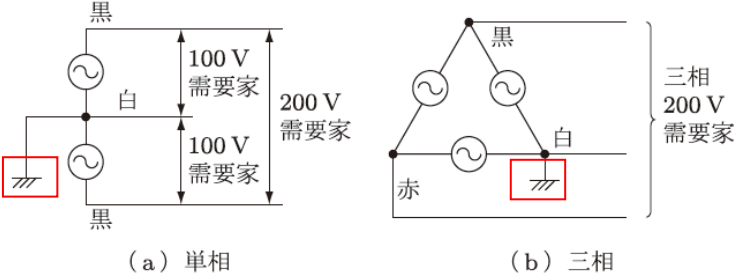

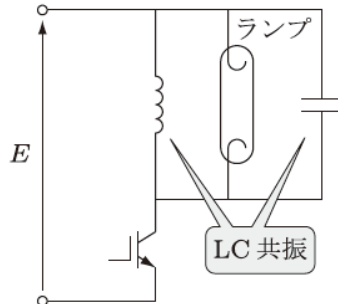
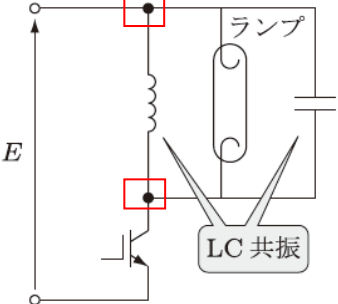
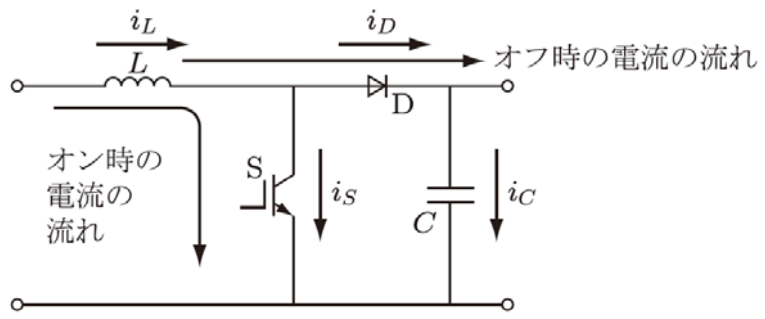
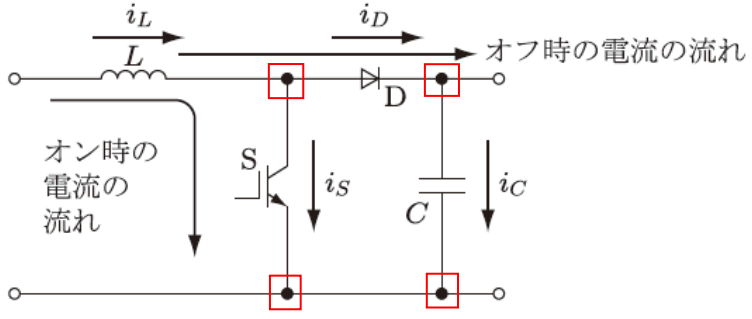
やさしく学べる△△工学 (第2版) ◎ ○ ○ ○ ○ 2014

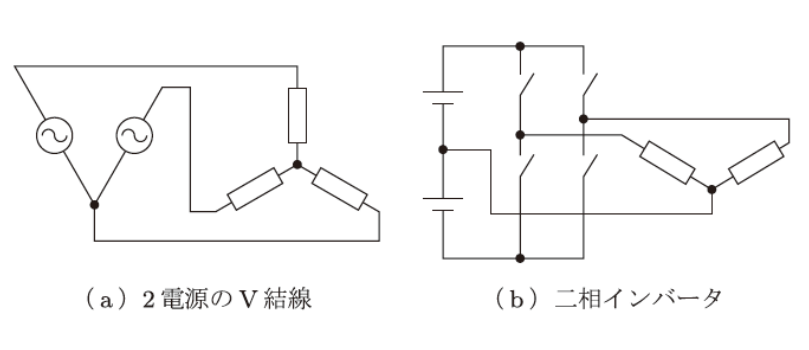
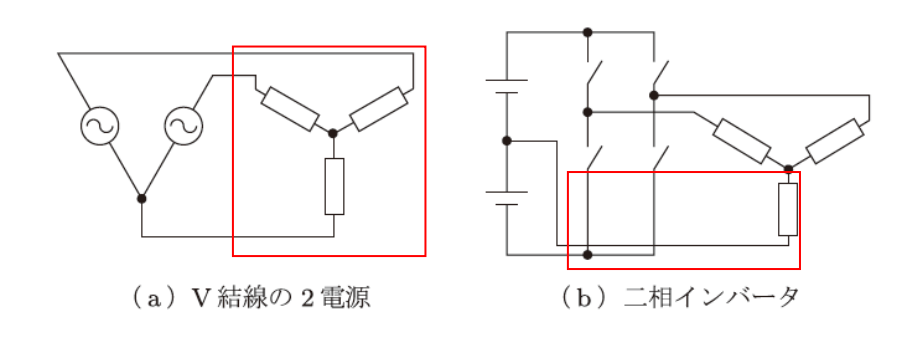
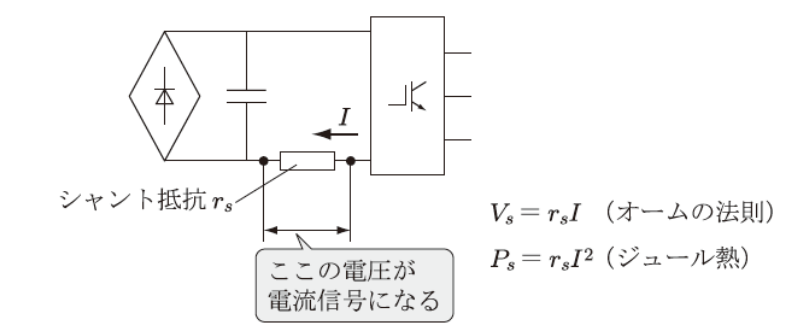
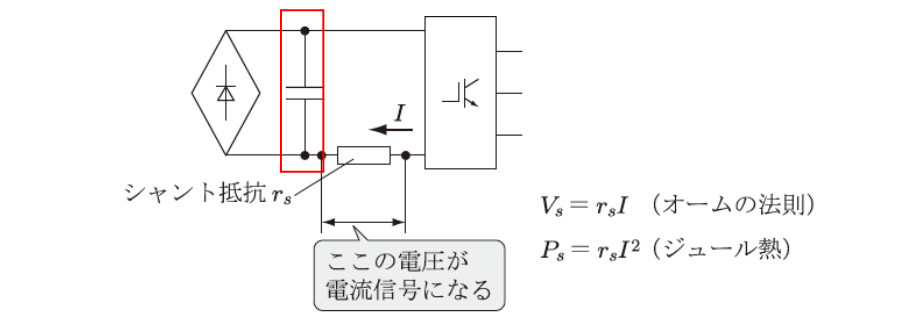
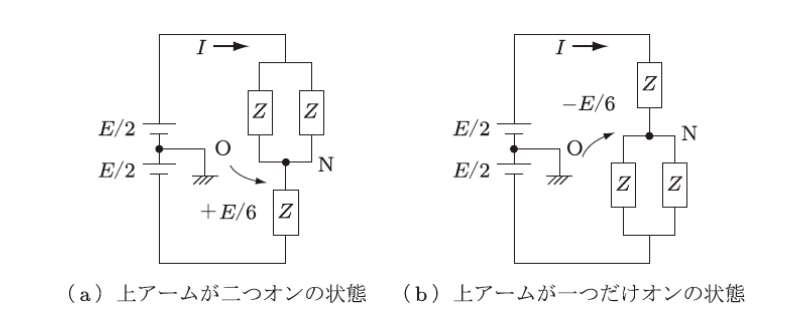
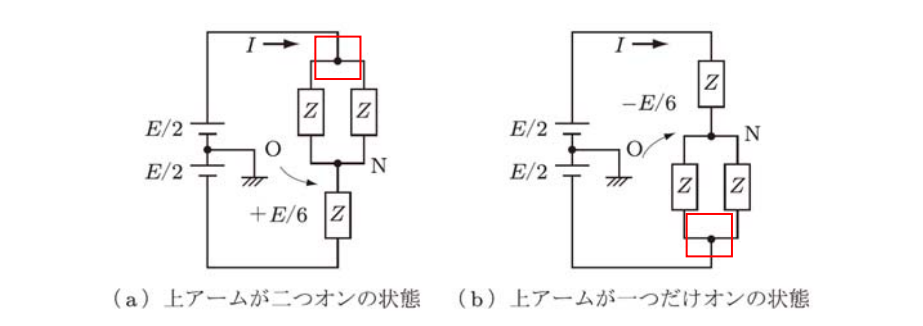
2001年○月○日 第1版第1刷発行 【本書の初刷刷数を示す】
2007年○月○日 第1版第●刷発行
2010年○月○日 第2版第1刷発行
2014年○月○日 第2版第●刷発行

著 者 ○ ○ ○ ○
発行所 森北 博巴
発行所 森北出版株式会社
東京都千代田区富士見1-4-11 (〒100-0071)
電話 03-3295-8441 / FAX 03-3294-8709
http://www.murakita.co.jp
日本書籍協会・自然科學会会員

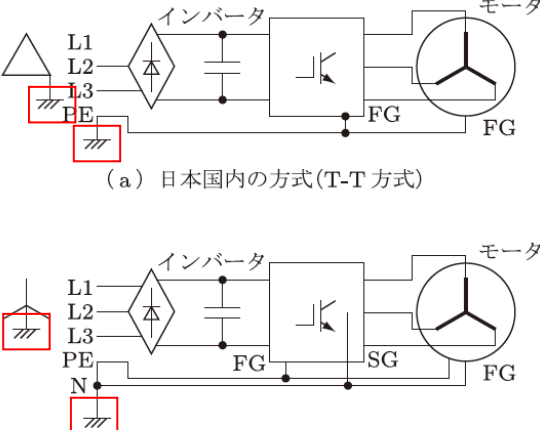
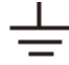
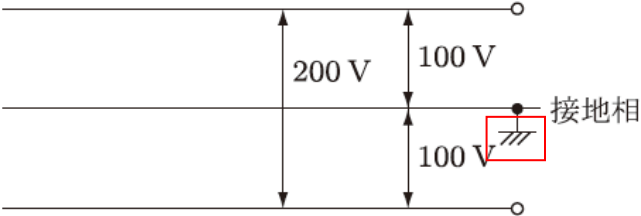

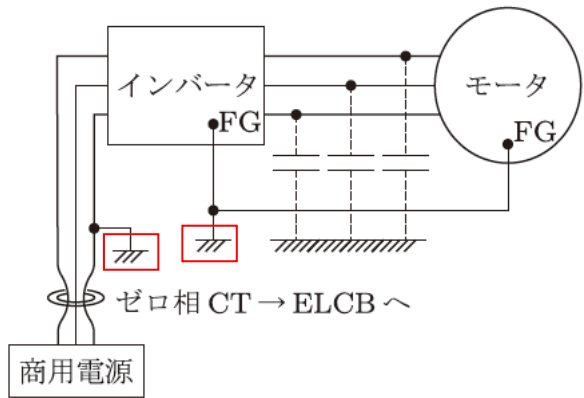

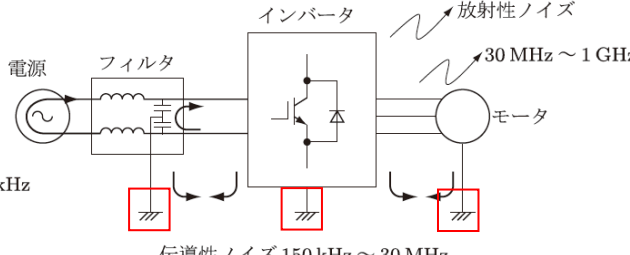

※丁乱丁本はお取替えいたしません。
Printed in Japan / ISBN978-4-627-xxxx-x

日付の最も新しい行に記載された数字がお持ちの本の刷数となります

対応刷数	頁	行数, 図・表・式番号	誤	正
2	15	図 2.5	一番下の吹き出し 電源インピーダンスを低くするためのコンデンサ	高周波インピーダンスを低くするためのコンデンサ
2	16	図 2.7	線間電圧 - 最下行 W - V 間	W - <u>U</u> 間
2	24	図 3.3	 <p>(a) 単相 (b) 三相</p>	
2	24	下から7行目	…しかし一般には, 図 2.8 で示したように…	…しかし一般には, 図 <u>3.2</u> で示したように…
2	30	図 3.12 (b)	吹き出し スイッチング軌路は原点を通る	スイッチング軌路は原点 <u>近く</u> を通る
2	36	図 3.20		
2	38	図 3.25		

2	39	図 3.27	 <p>(a) 2電源のV結線 (b) 二相インバータ</p>	 <p>(a) V結線の2電源 (b) 二相インバータ</p>
2	60	4.4.1 2行目	100倍の電流が瞬間的に流れる...	100倍の電流が流れる...
2	68	5.1(2)	オンするために立ち上がりの早い正の電圧を出力し、オフするために出力を負の電圧にする。	オンするために立ち上がりの早い正の電圧または電流を出力し、オフするために出力を負の電圧または電流にする。
2	83	図 5.15	 <p>シャント抵抗 r_s</p> <p>$V_s = r_s I$ (オームの法則) $P_s = r_s I^2$ (ジュール熱)</p> <p>この電圧が電流信号になる</p>	 <p>シャント抵抗 r_s</p> <p>$V_s = r_s I$ (オームの法則) $P_s = r_s I^2$ (ジュール熱)</p> <p>この電圧が電流信号になる</p>
2	105	最下行	…一方、線間電圧の振幅は $0.4 \times \sqrt{3} = 0.693E$ で…	…一方、線間電圧の振幅は $\sqrt{3} \times 0.4E = 0.693E$ で…
2	107	6行目	$\frac{f_c}{f_f} = 3(3n-1)$	$\frac{f_c}{f_f} = 3(2n-1)$
2	108	5行目	$\phi = \int v dt = \frac{1}{\omega} \sqrt{\frac{2}{3}} V_m e^{-j(\omega t - \pi)}$	$\phi = \int v dt = \frac{1}{\omega} \sqrt{\frac{3}{2}} V_m e^{-j(\omega t - \pi)}$
2	128	図 8.3	 <p>(a) 上アームが二つオンの状態 (b) 上アームが一つだけオンの状態</p>	 <p>(a) 上アームが二つオンの状態 (b) 上アームが一つだけオンの状態</p>

2	135	9行目	$E_d = \frac{1}{\pi} \int_0^{\pi} \sqrt{2}V \sin \theta d\theta = \frac{2\sqrt{3}}{\pi} V \approx 0.9V$	$E_d = \frac{1}{\pi} \int_0^{\pi} \sqrt{2}V \sin \theta d\theta = \frac{2\sqrt{2}}{\pi} V \approx 0.9V$
2	137	8行目	$E_d = \sqrt{2}V - \frac{2}{3} \Delta E_d = \sqrt{2}V - \frac{I_R}{2fC}$	$E_d = \sqrt{2}V - \frac{1}{2} \Delta E_d = \sqrt{2}V - \frac{I_R}{4fC}$
2	139	図 8.12		<p>The graph shows DC voltage (E_d) on the y-axis and DC current (I_L) on the x-axis. The peak-to-peak ripple voltage is labeled as $\frac{I_R}{4f \cdot C}$. The capacitor input type shows a linear decrease in voltage with increasing current, while the choke input type shows a non-linear decrease. The ripple voltage for the choke input type is labeled as $r_L I_R$. The region of discontinuous current is marked as '電流不連続' and the region of continuous current as '電流連続'.</p>
2	139	下から6行目	$E_d = \frac{1}{\pi} \int_0^{\pi} \sin \theta d\theta = \frac{2\sqrt{2}}{\pi} V$	$E_d = \frac{1}{\pi} \int_0^{\pi} \sqrt{2}V \sin \theta d\theta = \frac{2\sqrt{2}}{\pi} V$
2	142	図 8.14	<p>The diagram shows an inverter system with an inverter case and a motor case. It includes a three-phase AC input with a ground connection, a CPU with FG and SG terminals, a photo-coupler, and a single-phase AC input with a ground connection. The signal ground (SG) is connected to the FG terminal of the CPU. The ground connections are highlighted with red boxes.</p>	

2	143	図 8.16	 <p>(a) 日本国内の方式(T-T方式)</p> <p>(b) 中性点接地方式(T-N方式)</p>	
2	167	図 9.23		
2	184	図 10.10	 <p>商用電源</p> <p>インバータ</p> <p>モータ</p> <p>FG</p> <p>ゼロ相 CT → ELCB へ</p>	
2	186	図 10.12	 <p>電源</p> <p>フィルタ</p> <p>インバータ</p> <p>放射線性ノイズ</p> <p>30 MHz ~ 1 GHz</p> <p>モータ</p> <p>電源高調波 50/60 Hz ~ 数 kHz</p> <p>伝導性ノイズ 150 kHz ~ 30 MHz</p>	

2

188

図 10.16

